

# Hamiltonian Neural Flows<sup>1</sup>

Gaspard Beugnot

March 17th, 2020

---

<sup>1</sup>Hamiltonian Generative Networks, Thoth *et al.*

# Introduction

- À partir d'une séquence vidéo, apprendre l'Hamiltonien d'un système
  - ▶ État = position + variable latente
  - ▶ Position = image
  - ▶ Permet déroulement temporel en avant, en arrière, accéléré
- Adapté au problème d'évaluation de densité:
  - ▶ État = échantillon + variable latente
  - ▶ Entraînement sur des échantillons tirés d'une loi
  - ▶ Permet de transformer une loi simple en une loi complexe (Variational Inference with Normalizing Flows)

Implémentation sur:

[github.com/gaspardbe/HamiltonianGenerativeNetworks](https://github.com/gaspardbe/HamiltonianGenerativeNetworks).

# État de l'art

## 1 État de l'art

- Inférence Variationnelle
- Normalizing Flows
- Normalizing Flows
- Normalizing Flows
- Normalizing Flows
- Hamiltonian Monte Carlo
- Hamiltonian Monte Carlo
- HMC avec NN
- Schémas numériques

# Inférence variationnelle

- Décomposition variables observées / variables latentes
- Approximer la postérieure des variables latentes par une fonction paramétrique
- Utiliser Jensen, optimiser l'approximation de la postérieure

$$\begin{aligned}\log p_{\theta}(\mathbf{x}) &= \log \int_{\mathcal{Z}} p_{\theta}(\mathbf{x}|\mathbf{z})p(\mathbf{z})\mathrm{d}\mathbf{z} \\ &= \log \int \mathcal{Z} \frac{q_{\phi}(\mathbf{z}|\mathbf{x})}{q_{\phi}(\mathbf{z}|\mathbf{x})} p_{\theta}(\mathbf{x}|\mathbf{z})p(\mathbf{z})\mathrm{d}\mathbf{z} \\ &\geq -\mathbb{D}_{KL} [q_{\phi}(\mathbf{z}|\mathbf{x})|p(\mathbf{z})] + \mathbb{E}_q [\log p_{\theta}(\mathbf{x}|\mathbf{z})] \\ &= \mathcal{F}(\mathbf{x})\end{aligned}$$

( $\theta$ : paramètres du modèle;  $\phi$ : paramètres du réseau)

# Normalizing Flows (Rezende *et al.*)

- A priori:  $\pi(\cdot)$

# Normalizing Flows (Rezende *et al.*)

- A priori:  $\pi(\cdot)$
- Fonction inversible  $f(\cdot)$

# Normalizing Flows (Rezende *et al.*)

- A priori:  $\pi(\cdot)$
- Fonction inversible  $f(\cdot)$
- Loi objectif:  $p(\mathbf{x}) = \pi(f^{-1}(\mathbf{x})) \left| \det \frac{\partial f^{-1}}{\partial \mathbf{x}} \right|$

# Normalizing Flows (Rezende *et al.*)

- A priori:  $\pi(\cdot)$
- Fonction inversible  $f(\cdot)$
- Loi objectif:  $p(\mathbf{x}) = \pi(f^{-1}(\mathbf{x})) \left| \det \frac{\partial f^{-1}}{\partial \mathbf{x}} \right|$

Problème: comment calculer le Jacobien efficacement?



# Variational inference with Normalizing Flows

- Planar Flows

- ▶ Transformation de type:

$$f(\mathbf{z}) = \mathbf{z} + \mathbf{u}h(\mathbf{w}^\top \mathbf{z} + b)$$

- ▶ Ensemble de contractions dilatations orthogonalement à  $\mathbf{w}$ .
- ▶ Déterminant calculable en temps linéaire par rapport au nombre de dimensions.

# Variational inference with Normalizing Flows

- Planar Flows

- ▶ Transformation de type:

$$f(\mathbf{z}) = \mathbf{z} + \mathbf{u}h(\mathbf{w}^\top \mathbf{z} + b)$$

- ▶ Ensemble de contractions dilatations orthogonalement à  $\mathbf{w}$ .
- ▶ Déterminant calculable en temps linéaire par rapport au nombre de dimensions.

- Radial flows

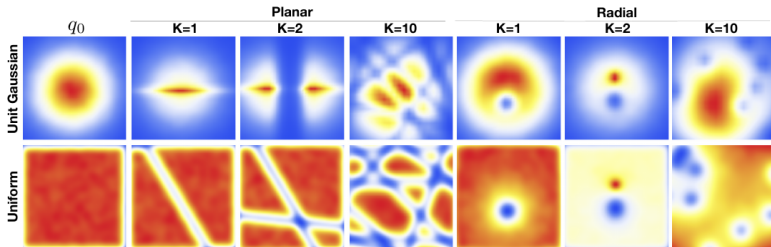
- ▶ Transformation de type:

$$f(\mathbf{z}) = \mathbf{z} + \beta \frac{\mathbf{z} - \mathbf{z}_0}{\alpha + \|\mathbf{z} - \mathbf{z}_0\|}$$

- ▶ Contraction radiale par rapport à un point de référence  $\mathbf{z}_0$ .
- ▶ Déterminant calculable en temps linéaire à nouveau.

# Expressivité

Des flots qui restent expressifs (gaussienne en distribution initiale).



# Hamiltonian Monte Carlo

## Principe (Neal)

- MCMC = générer une chaîne de Markov avec loi a posteriori pour loi invariante
- Énergie :

$$H(q, p) = \frac{1}{Z} \exp(-U(q)) \exp(-K(p))$$

avec  $U(q) = -\log(\pi(q)p(q|\theta))$ .

- Si  $K(p) \propto p^\top M p$ ,  $\iff p$  variable latente tirée suivant une gaussienne.

# Hamiltonian Monte Carlo

## Principe (Neal)

- MCMC = générer une chaîne de Markov avec loi a posteriori pour loi invariante
- Énergie :

$$H(q, p) = \frac{1}{Z} \exp(-U(q)) \exp(-K(p))$$

avec  $U(q) = -\log(\pi(q)p(q|\theta))$ .

- Si  $K(p) \propto p^\top M p$ ,  $\iff$   $p$  variable latente tirée suivant une gaussienne.

## Résultats:

- déplacements sur des isodensités pour  $H$ , peut explorer différents modes pour  $q$ .
- Réversibilité du Hamiltonien donne automatiquement la *detailed balance equation*.
- Nécessite de choisir judicieusement les paramètres d'intégration.

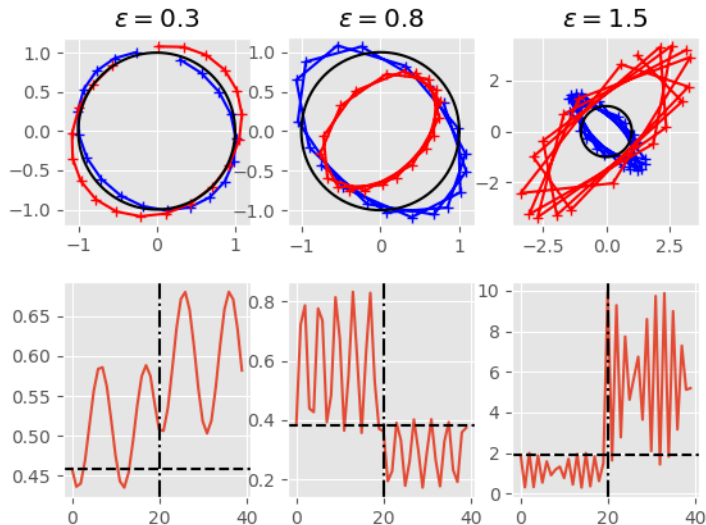
# HMC with NN

## Principe (Levy):

- Utiliser des opérateurs d'échelles sur la mise à jour des états (translations, dilatation sur l'état et sur le gradient).
- Coût doit:
  - ▶ maximiser le mixing (maximise la taille des sauts, ie. distance entre les états)
  - ▶ encourage un burn-in rapide (atteindre l'état stationnaire rapidement)
- Convergence vers la loi invariante garantie par la réversibilité

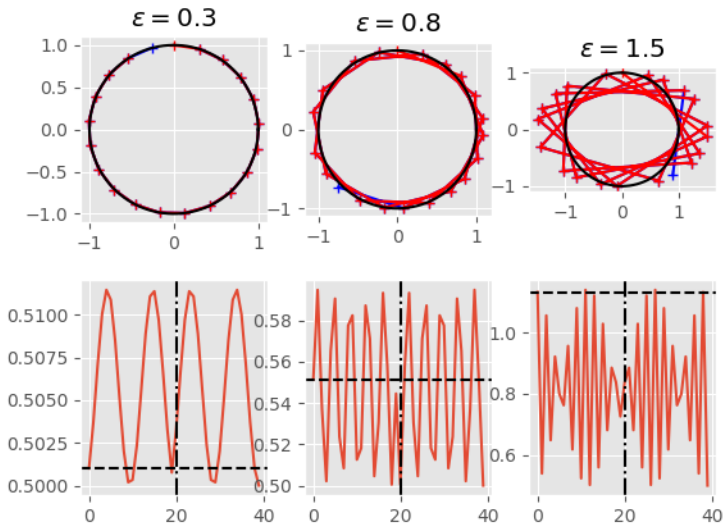
# Schémas numériques pour l'intégration - Euler

$n_{steps} = 20$



# Schémas numériques pour l'intégration - Leapfrog

$n_{steps} = 20$





# Neural Hamiltonian Flow

Principe:

- Utiliser  $T$  hamiltoniens pour modéliser un flot qui emmène d'un a priori simple à une fonction complexe.
  - ▶ **Préserve le volume** : pas de déterminant à calculer
  - ▶ **Réflexif** : inverse naturel et facile à calculer
- État =  $s_0, \dots, s_T$  avec  $s_i = \mathbf{q}_i, \mathbf{p}_i$ . Moment = **variable latente**:

$$\begin{aligned} p(\mathbf{q}_T) &= \int p(\mathbf{q}_T, \mathbf{p}_T) d\mathbf{p}_T \\ &= \int \pi(\mathcal{H}_1^{-dt} \circ \dots \circ \mathcal{H}_T^{-dt}(\mathbf{q}_T, \mathbf{p}_T)) d\mathbf{p}_T \end{aligned}$$

Impossible d'explorer tout l'espace des  $\mathbf{p}$  :  $\rightarrow$  encoder le moment depuis la position.

On approche la probabilité par une fonction paramétrique:

$$\begin{aligned}
 \log p(\mathbf{q}_T) &= \log \int p(\mathbf{q}_T, \mathbf{p}_T) d\mathbf{p}_T \\
 &= \log \int \frac{p(\mathbf{q}_T, \mathbf{p}_T)}{f_\psi(\mathbf{p}_T|\mathbf{q}_T)} f_\psi(\mathbf{p}_T|\mathbf{q}_T) d\mathbf{p}_T \\
 &\geq \mathbb{E}_{f_\psi(\mathbf{p}_T|\mathbf{q}_T)} [\log \pi(\mathcal{H}_1^{-dt} \circ \dots \circ \mathcal{H}_T^{-dt}(\mathbf{q}_T, \mathbf{p}_T)) \\
 &\quad - \log f_\psi(\mathbf{p}_T|\mathbf{q}_T)] \\
 &= \text{ELBO}(\mathbf{q}_T)
 \end{aligned}$$

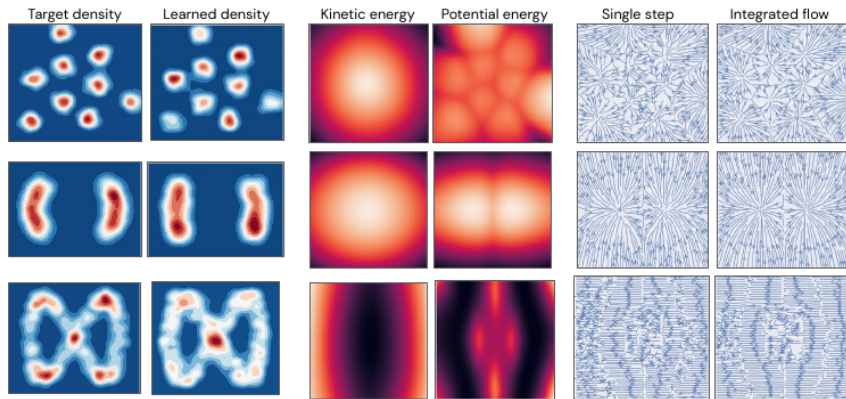
On optimise cette borne inf par rapport à  $\psi$  et les  $T$  hamiltoniens.

# Détails Techniques

Plusieurs modules:

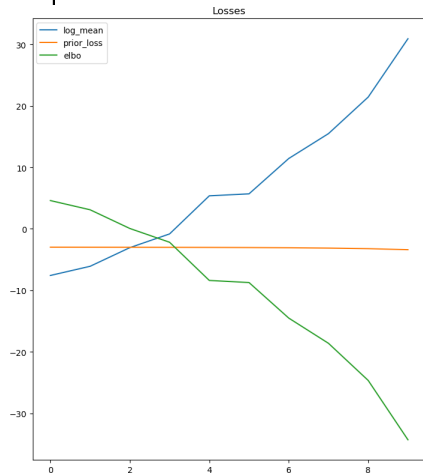
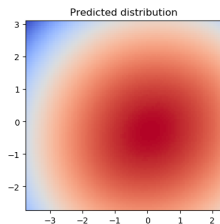
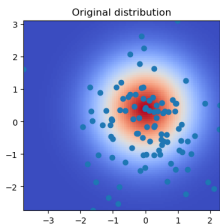
- Hamiltonien:
  - ▶ 2 réseaux de neurones (MLP):  $U(\mathbf{q})$  (potentiel) et  $K(\mathbf{p})$  cinétique
  - ▶ Une fonction d'intégration:  $\mathbf{q}, \mathbf{p} \mapsto \mathbf{q}', \mathbf{p}'$ .
- Un encodeur:
  - ▶ 2 réseaux de neurones (MLP):  $\mu, \sigma : \mathbb{R}^d \rightarrow \mathbb{R}^d$ .
  - ▶ Échantillonne selon une gaussienne de loi  $\mu, \sigma$ .
- Le flot:
  - ▶ Définit une a priori
  - ▶ Implémente les fonctions de coûts
  - ▶ Optimise les paramètres par rétropropagation.

# Objectif



# Résultats numériques

## Instabilités numériques...



# Prolongements

Beaucoup de questions en suspend:

- Quelle est l'utilité de plusieurs hamiltoniens vs. 1 hamiltonien complexe?
- Comment procéder à l'échantillonnage ? *First, we assume that the initial state  $s_0$  is a sample from a simple prior  $s_0 \sim \pi_0(\cdot)$ .*
  - ▶ On ne peut pas explorer tout l'espace des moments
  - ▶ Entraîner un **nouvel** encodeur ?
- Notion de dynamique:
  - ▶ Peu de pas d'intégration...
  - ▶ Interprétation simple  $\implies$  overkill? Échantillons = bassin d'attraction?